arXiv:math/0302188v1 [math.AG] 17 Feb 2003

Résolution du problème des arcs de Nash pour les points doubles rationnels

Camille Plénat

11 février 2014

Résumé

This paper deals with the Nash problem, which claims that there are as many families of arcs on a singular germ of surface U as there are essential components of the exceptional divisor in the desingularisation of this singularity. We prove that this claim holds for all rational double points.

1 Introduction

A la fin des années soixante, J.Nash a introduit l'étude de l'espace des arcs $\mathcal{H}$ sur les variétés singulières dans un préprint non publié à l'époque (mais paru depuis **[NASH]**). Il a notamment posé le problème suivant : soit S une variété singulière ; on appelle désingularisation divisorielle une désingularisation dont l'ensemble exceptionnel est de codimension pure 1 ; on appelle diviseur essentiel un diviseur apparaissant dans chaque désingularisation divisorielle de la variété. A chaque famille d'arcs (i.e. à chaque composante irréductible de $\mathcal{H}$), on peut associer un diviseur essentiel ; la réciproque est-elle vraie ?

Quelques avancées ont été réalisées depuis : Ana Reguera (dans **[REG]**) a répondu par l'affirmative pour les singularités minimales de surface. Plus récemment, Kollar et Ishii ont prouvé la conjecture pour les singularités toriques en toutes dimensions et surtout ont donné un contre-exemple en dimension supérieure ou égale à quatre (cf.**[ISH-KOL]**).

Dans cet article, on donne une preuve pour les points doubles rationnels de surface D_n ($n \geqslant 4$) et E_n ($n = 6, 7, 8$) (le résultat pour les A_n ayant été prouvé par Nash dans **[NASH]**). Soit (S, s) une singularité (D_n ou $\mathbf{E_6}$, $\mathbf{E_7}$, $\mathbf{E_8}$). Dans ce cas, la désingularisation minimale est divisorielle et chaque diviseur exceptionnel est essentiel. Soit $(E_\alpha)_\alpha$ l'image inverse du lieu singulier par la désingularisation minimale,

décomposée en composantes irréductibles. On utilise une décomposition standard de $\mathcal{H} = \bigcup \overline{N_\alpha}$ où N_α est la famille des arcs tels que leur transformée stricte est transverse à E_α(diviseur exceptionnel de la désingularisation minimale) et n'intersecte pas les autres composantes exceptionnelles (ces familles sont des ensembles irréductibles de $\mathcal{H}$ (cf.**[ISH-KOL]**)). Par construction, il y a autant d'ensembles irréductibles $\overline{N}_\alpha$ que de diviseurs exceptionnels ; donc le problème de Nash se ramène à montrer que $\overline{N_\alpha} \not\subset \overline{N_\beta}$ pour tout α, β. On applique, dans un premier temps, un critère valuatif suffisant pour distinguer certaines familles (cf.**[PLE]**). On a alors un ordre partiel sur les familles d'arcs : N_α et N_β sont dites incomparables si $\overline{N_\alpha} \not\subset \overline{N_\beta}$ et réciproquement. "$N_\alpha < N_\beta$" si on a $\overline{N_\alpha} \not\subset \overline{N_\beta}$ mais les familles sont comparables. On décrit alors des sous-ensembles K_α (défini par des idéaux I_α) tels que

- pour tout α, $\overline{N_\alpha}$ est une composante irréductible de K_α, i.e. il existe $\mathcal{P}_\alpha$ premier minimal de I_α tel que $\overline{N_\alpha} = V(\mathcal{P}_\alpha)$;
- K_α contient les familles N_β telles que $N_\alpha < N_\beta$.

On montre alors que les idéaux premiers définissant ces familles sont en fait minimaux pour I_k et qu'ils diffèrent de $\mathcal{P}_\alpha$.

Je tiens à remercier ici mon directeur de thèse, Mark Spivakovsky, qui m'a constamment guidée dans l'élaboration de cet article.

2 Rappels et definitions

2.1 Le problème de Nash

Le problème de Nash concerne la famille des courbes formelles passant par une singularité et les composantes exceptionnelles d'une désingularisation de cette singularité. La conjecture a été énoncée en toute généralité, bien que nous ne l'énoncerons ici que pour les singularités isolées (S, s) de surfaces.
Avant d'énoncer la conjecture, rappelons quelques définitions :

Définition 1. Arc
Un arc sur une surface (S, s) singulière passant par la singularité s est une courbe formelle paramétrisée, i.e. un k–morphisme ϕ : $(spec\ k[[t]], 0) \longrightarrow (S, s)$, ou, de manière équivalente, un k–morphisme $\mathcal{O}_{(s,s)} \longrightarrow k[[t]]$.

Définition 2. *Soit $\mathcal{H}$ l'ensemble des arcs de la singularité (S, s). C'est une variété*

algébrique de dimension infinie.
Quels sont les ouverts sur $\mathcal{H}$? les ouverts définis par un nombre fini d'inéquations sur un nombre fini de coefficients des séries entières formelles définissant les arcs forment une base de la topologie de Zariski sur $\mathcal{H}$.

Soient $(X_0, \{E_\alpha\}_{(\alpha)}) \longrightarrow (S, s)$ une désingularisation de la singularité (S, s), et $\{E_\alpha\}_{(\alpha)}$ l'ensemble des composantes irréductibles de l'image inverse par le morphisme de désingualrisation du lieu singulier s .
La conjecture de Nash consiste à comparer les composantes irréductibles de $\mathcal{H}$ et les composantes $\{E_\alpha\}_{(\alpha)}$; plus exactement, dans le cas des surfaces :

Conjecture 1. (Nash)
Il y a autant de courbes exceptionnelles dans la **désingularisation minimale** *d'une singularité de surface (S, s) que de composantes irréductibles de $\mathcal{H}$.*

Ces composantes irréductibles sont aussi appelées familles d'arcs de Nash.
En réalité, pour prouver la conjecture, il suffit de prouver qu'il y a au moins autant de familles que de $(E_\alpha)_{(\alpha)}$ pour la **désingularisation minimale**, car on a une application $M : \{familles\ d'arcs\} \to \{composantes\}$ injective (**[Nash]**,**[ISH-KOL]**) ; il suffit donc de démontrer que c'est une bijection.
(voir preuve facile dans [**REG**]).
Considérons la décomposition de $\mathcal{H}$ suivante :
soit N_α la famille d'arcs tels que leur transformée stricte est transverse à E_α et n'intersecte pas les autres composantes exceptionnelles ; ces familles sont des ensembles irréductibles de $\mathcal{H}$ et $\mathcal{H} = \bigcup \overline{N_\alpha}$; alors il reste seulement à prouver que pour tout α, γ, on a $\overline{N_\alpha} \not\subset \overline{N_\gamma}$.
Pour de plus amples explications, voir l'article d'Ana Reguera [**REG**].
Pour une autre introduction au problème de Nash, on renvoie le lecteur au preprint de Ishii et Kollar [**[ISH-KOL]**].

Remarque : Pour prouver la conjecture de Nash, on peut aussi considérer l'ensemble des arcs tronqués "suffisamment" loin :

Définition 3. Arc tronqué
Un arc d'ordre i sur un germe U est une courbe tronquée paramétrisée, i.e. un k–morphisme $\mathcal{O}_U \longrightarrow \frac{k[[t]]}{t^{i+1}}$.
Soit $\mathcal{H}(i)$ l'ensemble des arcs d'ordre i du germe singulier U. C'est une variété algébrique. On a les applications naturelles $\rho(i) : \mathcal{H} \to \mathcal{H}(i)$ et $\rho(ji) : \mathcal{H}(j) \to \mathcal{H}(i)$ pour $j > i$ qui, avec les $\mathcal{H}(i)$ forment un système projectif dont la limite est $\mathcal{H}$.

Pour (S, s) où s est un point singulier, $\rho(i)$ n'est pas surjective en général. Soit $Tr(i)$ son image dans $\mathcal{H}(i)$. Alors on peut écrire $\overline{Tr(i)} = \bigcup \overline{N_\alpha}(i)$. Soit $r(i)$ le nombre de composantes irréductibles de $\overline{Tr(i)}$. C'est une fonction croissante et bornée. Donc il existe r tel que pour tout $i >> 0$ $r(i) = r$. L'ensemble $\overline{Tr(i)}$ se décompose en r composantes irréductibles qui déterminent une décomposition de $\mathcal{H}$ en r composantes irréductibles. (On renvoit une nouvelle fois le lecteur aux articles **[REG]** et **[NASH]**).
En conclusion, si on montre que pour un certain i les familles "tronquées" à l'ordre i sont non incluses les unes dans les autres, on aura résolu le problème de Nash. Dans les cas des points doubles rationnels de surface, on peut calculer explicitement la valeur de i telle que le nombre de composantes de $\overline{Tr(i)}$ est égal au nombre de diviseurs essentiels.

2.2 Critère suffisant pour séparer les familles d'arcs

Dans cette section, on rappelle le critère valuatif donné dans **[PLE]**, qui nous permettra de delayer le problème pour les points doubles rationnels.

Définition 4. *Soit $(S, 0)$ une singularité isolée de surface. Soient $p : (X, (E_j)) \to (S, 0)$ une désingularisation de S et E_i un diviseur issu de la désingularisation de $(S, 0)$.*
Soit $f \in \mathcal{O}_{(S,0)}$. Soit $\mathcal{M}_i$ l'idéal maximal de l'anneau local $\mathcal{O}_{X,E_i}$. On définit l'ordre de f sur le diviseur E_i, noté $ord_{E_i}(f)$, comme suit : $ord_{E_i}(f) = max\{r / f \in {\mathcal{M}_i}^r\}$

Lemme 2. *Soit $(S, 0)$ une singualurité isolée de surface. Soient $p : (X, (E_j)) \to (S, 0)$ une désingularisation de $(S, 0)$, E_i, E_j diviseurs issus de la désingularisation de $(S, 0)$.*
S'il existe $f \in \mathcal{O}_{(S,0)}$ telle que $ord_{E_i}(f) < ord_{E_j}(f)$, alors $\overline{N_i}(S) \not\subset \overline{N_j}(S)$.

Pour les singularités rationnelles, cette condition nous donne un ordre partiel sur les familles : s'il existe $f, g \in \mathcal{O}_{(S,0)}$ telles que $ord_{E_i}(f) < ord_{E_j}(f)$ et $ord_{E_i}(g) > ord_{E_j}(g)$, alors les familles $\overline{N_i}(S)$ et $\overline{N_j}(S)$ sont incomparables. Supposons que $\overline{N_i}(S)$ et $\overline{N_j}(S)$ sont comparables et que $\overline{N_i}(S) \not\subset \overline{N_j}(S)$ alors on écrit $N_i < N_j$ et parfois $E_i < E_j$.

3 Les points doubles rationnels D_n

On va considérer la singularité D_n plongée dans $\mathbb{C}^3$, définie par l'équation $F = z^2 - x(y^2 + x^{n-2}) = 0$; son graphe dual de résolution est le suivant :

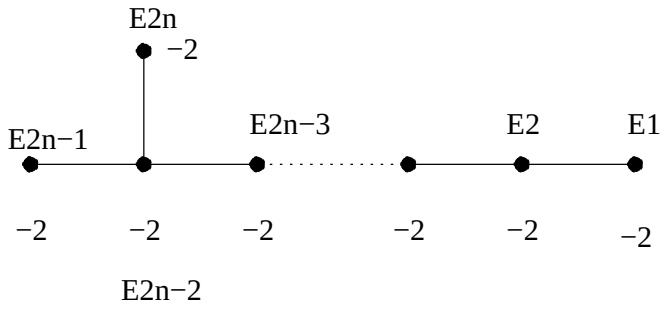

Fig. 1 – graphe dual (singularité de type D_{2n})

Dans cette section, on se propose de montrer que le problème de Nash est vrai pour les singularités D_{2n}, la généralisation à D_{2n+1} étant immédiate (il suffit d'interchanger les fonctions régulières $y + ix^{n-1}$ et $y - x^{n-1}$ avec $z + ix^n$ et $z - ix^n$). On va, dans un premier temps, appliquer le critère valuatif, suffisant pour éliminer un certain nombre de cas ; puis on considérera $\overline{Tr(4n-1)}$ et on résoudra les cas restants pour les familles d'arcs tronqués à l'ordre $4n-1$. Les arcs tronqués à l'ordre $4n-1$ sur cette singularité ont pour forme $(x(t), y(t), z(t)) = (a_1 t + ...a_{4n-1}t^{4n-1}, b_1 t + ... + b_{4n-1}t^{4n-1}, c_1 + ... + c_{4n-1}t^{4n-1})$; or $F((x(t), y(t), z(t))) = 0$ induit des équations sur les coefficients a_i, b_j, c_k, qui engendrent un idéal (I) dans l'anneau $R = k[a_1, ..., a_{4n-1}, b_1, ..., b_{4n-1}, c_1, ..., c_{4n-1}]$. On peut écrire $\mathcal{H}(4n-1) = spec(\frac{R}{I})$.

3.1 Critère valuatif appliqué aux D_{2n}

Les valuations des fonctions coordonnées x, y, z ainsi que des fonctions $y - ix^{n-1}$ et $y + ix^{n-1}$, que l'on donne sur la figure suivante, nous permettent d'une part, en utilisant le critère valuatif d'instaurer un ordre partiel :

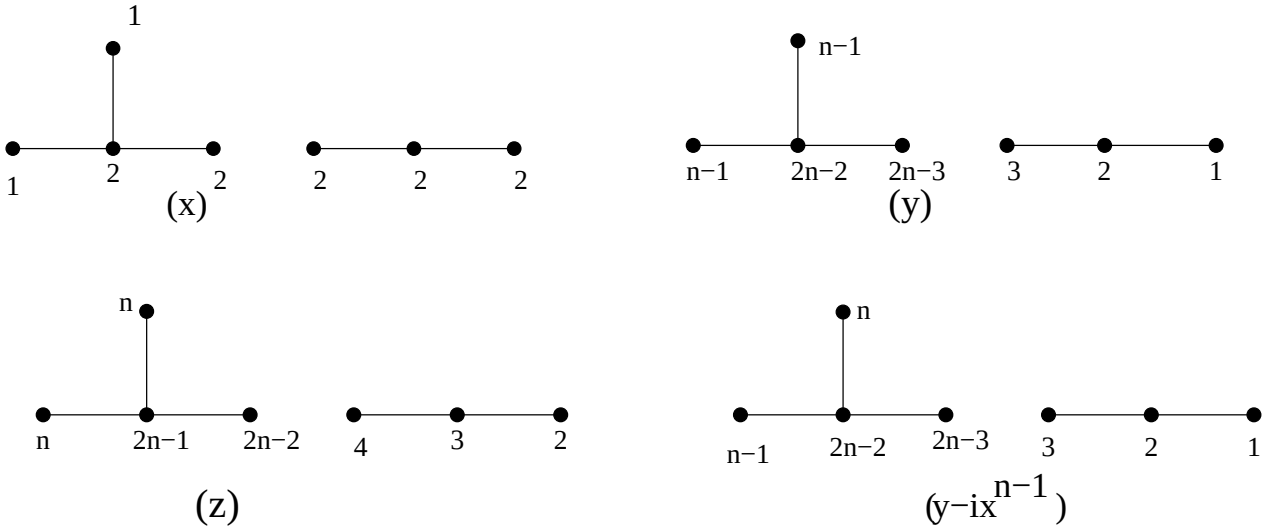

qui se traduit sur le schéma en forme d'arbre suivant (E_i représente sur ce schéma la famille $\overline{N_i}$ et $E_i - E_j$ signifie que E_i est liée à E_j ; cf.**[PLE]**) :

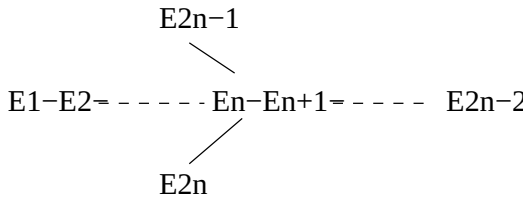

(**Rappel :**on appelle $E_1 - ... - E_{2n-2}$ la branche principale, $E_{2n-1} - E_{n+1} - ... - E_{2n-2}$ et $E_{2n} - E_{n+1} - ... - E_{2n-2}$ sont les deux autres branches.)

D'autre part, on peut décrire les familles $N_{2n-1-k} = \{a_1 = 0 = b_1 = ... = b_{2n-2-k} = c_1 = ... = c_{2n-1-k}\} \cap \mathcal{H} \cap \{a_2 \neq 0\} \cap \{c_{2n-k} \neq 0\} \cap \{b_{2n-k-1} \neq 0\}$ sur la branche principale, $N_{2n} = \{b_1 = ... = b_{n-2} = c_1 = ... = c_{n-1}\} \cap \{ia_1^{n-1} - b_{n-1} = 0\} \cap \mathcal{H} \cap \{a_1 \neq 0\} \cap \{c_n \neq 0\} \cap \{b_{n-1} \neq 0\}$ et $N_{2n-1} = \{b_1 = ... = b_{n-2} = c_1 = ... = c_{n-1}\} \cap \{ia_1^{n-1} + b_{n-1} = 0\} \cap \mathcal{H} \cap \{a_1 \neq 0\} \cap \{c_n \neq 0\} \cap \{b_{n-1} \neq 0\}$.(On rappelle que les familles N_i sont l'ensemble des arcs transversent à E_i).

Il nous reste à démontrer les non-inclusions non prouvées par le critère.
Comment ? Nous allons nous occuper des familles des arcs tronqués à l 'ordre $4n-1$ branche par branche ; pour la branche principale, on va considérer une suite

de sous-ensembles :

$$K_1 \subset K_2 \subset ... \subset K_{2n-2}$$

(dont on donnera l' idéal de définition I_k par la suite) tels que $\overline{N_{2n-2}(4n-1)} \cup ...\overline{N_{2n-1-k}(4n-1)} \subset K_k$. Pour chaque k, on montrera qu'il existe $\mathcal{P}_k$ idéal premier, minimal pour I_k, tel que $V(\mathcal{P}_k) = \overline{N_{2n-k-1}}(4n-1)$. On va montrer par récurrence sur k que les idéaux $\mathcal{P}_l$, pour $l \leqslant k$ sont des idéaux premiers minimaux de I_k différents les uns des autres. Ce qui nous donnera les non-inclusions voulues.
Il restera les deux autres branches ($E_{2n-1} - E_{n+1} - ... - E_{2n-2}$ et $E_{2n} - E_{n+1} - ... - E_{2n-2}$) que l'on peut résoudre d'une manière analogue.

3.2 Résolution du problème de Nash pour l'espace des arcs tronqués à $4n-1$ de la singularité D_{2n}

3.2.1 La branche principale $E_1 - ... - E_{2n-2}$: étude des sous-ensembles K_k

Considérons les sous-ensembles de $\mathcal{H}(4n-1)$ suivant :

$$K_k = \{a_1 = 0 = b_1 = ... = b_{2n-2-k} = c_1 = ... = c_{2n-1-k}\} \cap \mathcal{H}(4n-1)$$

Soit I_k son idéal de définition, $I_k = (a_1, b_1, ..., b_{2n-2-k}, c_1, ..., c_{2n-1-k}, f_{(k,1)}, ..., f_{(k,2k)})$ où les $f_{(k,i)}$ sont :

$$\begin{aligned}
f_{(k,1)} &= c_{2n-k}^2 - a_2 b_{2n-k-1}^2 \\
f_{(k,2)} &= 2c_{2n-k}c_{2n-k+1} - a_3 b_{2n-k-1}^2 - 2a_2 b_{2n-k-1} b_{2n-k} \\
f_{(k,3)} &= c_{2n-k+1}^2 + 2c_{2n-k}c_{2n-k+2} - g_3(A,B) \\
f_{(k,4)} &= 2c_{2n-k+1}c_{2n-k+2} + 2c_{2n-k}c_{2n-k+3} - g_4(A,B) \\
&\vdots \\
f_{(k,2k)} &= 2c_{2n-1}c_{2n} + 2c_{2n-2}c_{2n+1} + ... + 2c_{2n-k}c_{2n+k+1} + g_{2k}(A,B) + (2n-1)a_2^{2n-2}a_3
\end{aligned}$$

(où $A = \{a_2, ...\}$ et $B = \{b_{2n-m-1}, ...\}$ et les g_i sont certains polynômes en A et B, et les $f_{(k,i)}$ sont les coefficients de $t^{4n-2k+i-1}$ dans $F((x(t), y(t), z(t))) = 0$).

Nous allons montrer par récurrence que $\overline{N_{2n-1-l}(4n-1)} \not\subset \overline{N_{2n-1-k}(4n-1)}$ pour $l < k$ en étudiant les idéaux premiers minimaux de I_k.
Quelques remarques sur K_k :
Pour chaque k, la famille $\overline{N_{2n-1-k}(4n-1)}$ est une composante irréductible de K_k.(En effet on a que $N_{2n-1-k}(4n-1) = \{a_1 = 0 = b_1 = ... = b_{2n-2-k} = c_1 = ... = c_{2n-1-k}\} \cap \mathcal{H}(4n-1) \cap \{a_2 \neq 0\} \cap \{c_{2n-k} \neq 0\} \cap \{b_{2n-k-1} \neq 0\}$, est un ouvert irréductible de K_k (cf.**[ISH-KOL]**)). Soit $\mathcal{P}_k$ minimal pour I_k tel que $V(\mathcal{P}_k) = \overline{N_{2n-1-k}(4n-1)}$

On a de plus

$$K_1 \subset K_2 \subset ... \subset K_{2n-2} \; et$$
$$\overline{N_{2n-2}(4n-1)} \cup ... \overline{N_{2n-1-k}(4n-1)} \subset K_k$$

Lemme 3. *Soit $\mathcal{P}$ un idéal premier minimal de I_k, $\mathcal{P} \neq \mathcal{P}_k$.*
Alors $(c_{2n-k}, b_{2n-k-1}) \subset \mathcal{P}$.

Démonstration. Si $c_{2n-k} \notin \mathcal{P}$, alors dans le localisé $R_{c_{2n-k}}$, on a $(I_k)_{c_{2n-k}} \subset (\mathcal{P})_{c_{2n-k}}$; or R est intègre, donc $R_{c_{2n-k}}$ l'est aussi ; $\frac{R_{c_{2n-k}}}{(I_k)_{c_{2n-k}}} \simeq \frac{R'}{f_{(k,1)}}$ où
$R' = k[a_2, ..., a_{4n-1}, b_{2n-k-1}, ..., b_{4n-1}, c_{2n-k}, c_{2n+1}, ..., c_{4n-1}]$. Or $f_{(k,1)}$ est irréductible, donc $\frac{R'}{f_{(k,1)}}$ est intègre ; d'où $(I_k)_{c_{2n-k}}$ est premier. Donc on a l'égalité suivante : $(\mathcal{P}_k)_{c_{2n-k}} = (\mathcal{P})_{c_{2n-k}} = (I_k)_{c_{2n-k}}$ (en effet $N_{2n-1-k}(4n-1) \subset V(\mathcal{P}_k)$ implique que $c_{2n-k} \notin \mathcal{P}_k$).
Par un raisonnement analogue, si $b_{2n-k-1} \notin \mathcal{P}$, alors dans $R_{b_{2n-k-1}}$, on a $(I_k)_{b_{2n-k-1}} \subset (\mathcal{P})_{b_{2n-k-1}}$; or $(I_k)_{b_{2n-k-1}}$ est premier donc on a l'égalité suivante : $(\mathcal{P}_k)_{b_{2n-k-1}} = (\mathcal{P})_{b_{2n-k-1}} = (I_k)_{b_{2n-k-1}}$.
Donc $(\mathcal{P}_k) = (\mathcal{P})$ ce qui est faux par hypothèse.

□

Théorème 4. *L'idéal I_k a k idéaux premiers minimaux, $\mathcal{P}_1, ..., \mathcal{P}_k$, tous de hauteur $4n-2$.*
En particulier, $\overline{N_{2n-1-k}}(4n-1) \not\subset \overline{N_{2n-1-l}}(4n-1)$ pour $1 \leqslant l, k \leqslant 2n-2$.

Démonstration. Soit $Prop(m)$ la proposition : $\sqrt{I_m} = \mathcal{P}_1 \cap ... \cap \mathcal{P}_m$ est une décomposition en premier minimaux de I_m, et les $\mathcal{P}_i$ sont de hauteur $4n-2$.
On fait une récurrence sur m.
$m = 1$ montrons que $K_1 = \overline{N_{2n-2}}(4n-1)$.
L'idéal de définition I_1 du sous-ensemble K_1 est engendré par les équation suivantes :

$$a_1, b_1, ..., b_{2n-3}, c_1, ..., c_{2n-2}$$
$$f_{(1,1)} = c_{2n-1}^2 - a_2 b_{2n-2}^2 - a_2^{2n-1}$$
$$f_{(1,2)} = 2c_{2n-1}c_{2n} - a_3 b_{2n-2}^2 - 2a_2 b_{2n-2} b_{2n-1} - (2n-1)a_2^{2n-2} a_3$$

qui forment une suite régulière de $4n-2$ éléments (en effet les premières variables n'apparaissent pas dans $f_{(1,1)}$ et $f_{(1,2)}$, $f_{(1,1)}$ est irréductible, donc $\frac{R}{f_{(1,1)}}$ est intègre,donc $(f_{(1,1)}, f_{(1,2)})$ est régulière). Par suite $ht(I_1) = 4n-2$ ainsi que ses idéaux minimaux associés.
Supposons que K_1 n'est pas irréductible, i.e. qu'il existe $\mathcal{Q} \neq \mathcal{P}_1$ premier minimal de I_1. Alors par le lemme précédent, on a $(c_{2n-1}, b_{2n-2}) \subset \mathcal{Q}$ et donc $a_2 \in \mathcal{Q}$ (car $f_{(1,1)} \in \mathcal{Q}$). Finalement $\mathcal{Q}$ doit contenir $(a_1, b_1, ..., b_{2n-3}, c_1, ..., c_{2n-2}, a_2, b_{2n-2}, c_{2n-1})$ qui est de hauteur $4n-1$. Donc $ht(\mathcal{Q}) \geqslant 4n-1$. Ce qui contredit le fait que c'est un premier minimal de I_1.

Soit $1 < m \leqslant 2n-2$.
Supposons que $\sqrt{I_{m-1}} = \mathcal{P}_1 \cap ... \cap \mathcal{P}_{m-1}$ et $ht(\mathcal{P}_l) = 4n-2$ pour $1 \leqslant l \leqslant m-1$ (et donc que $\overline{N_{2n-1-l}}(4n-1) = V(\mathcal{P}_l) \not\subset \overline{N_{2n-1-k}}(4n-1) = V(\mathcal{P}_k)$ pour tout $1 \leqslant k, l \leqslant m-1$).
Montrons que $\sqrt{I_m} = \mathcal{P}_1 \cap ... \cap \mathcal{P}_m$ et $ht(\mathcal{P}_m) = 4n-2$.($=Prop(\mathrm{m})$)
On considère K_m , son idéal de définition $I_m = (a_1, b_1, ..., b_{2n-2-m}, c_1, ..., c_{2n-1-m}, f_{(m,1)}, ..., f_{(m,2m)})$

Remarque :
S'il existe un idéal premier minimal $\mathcal{P}$ de I_m, autre que $\mathcal{P}_m$, on sait par le lemme que $(c_{2n-m}, b_{2n-m-1}) \subset \mathcal{P}$, ce qui implique que $I_{m-1} \subset \sqrt{I_{m-1}} = \mathcal{P}_1 \cap ... \cap \mathcal{P}_{m-1} \subset \mathcal{P}$ (car on a de plus $I_{m-1} = I_m + (c_{2n-m}, b_{2n-m-1})$.

Donc les candidats pour $\mathcal{P}$ sont $\mathcal{P}_1, ..., \mathcal{P}_{m-1}$ et $ht(\mathcal{P}) = 4n-2$.

Pour prouver l'existence de $\mathcal{P}$, il faut et il suffit de montrer que c_{2n-m} (ou b_{2n-m-1}) est un diviseur de zéro modulo $\sqrt{I_m}$.(Les idéaux premiers minimaux de I_m sont les radicaux des annulateurs d'éléments de $\frac{R}{\sqrt{Im}}$, et $c_{2n-m}, b_{2n-m-1} \notin \mathcal{P}_m$)

Supposons que c_{2n-m} n'est pas un diviseur de zéro modulo $\sqrt{I_m}$.
Alors d'une part, on a que $\mathcal{P}_m$ est le seul premier minimal de I_m, $\sqrt{I_m} = \mathcal{P}_m$. Alors $\mathcal{P}_m \subset \mathcal{P}_{m-1}$ (par exemple) et $ht(\mathcal{P}_{m-1}) = 4n-2$, ainsi $ht(\mathcal{P}_m) < 4n-2$.

D'autre part, dans $R_{c_{2n-m}}$, $ht((I_m)_{c_{2n-m}}) = 4n-2$ donc $ht(I_m) = 4n-2$ ce qui implique que $ht(\mathcal{P}_m) = 4n-2$ =><=.

conclusion c_{2n-m} est un diviseur de zéro modulo I_m, $\mathcal{P}_1, ..., \mathcal{P}_{m-1}$ sont des premiers minimaux de I_m différents de $\mathcal{P}_m$, $\sqrt{(I_m)} = \mathcal{P}_1 \cap ... \cap \mathcal{P}_m$, pour tout $1 \leqslant l, k \leqslant m$ $\mathcal{P}_l \neq \mathcal{P}_k$ et $ht(\mathcal{P}_l) = 4n-2$ pour $1 \leqslant l \leqslant m$.

$Prop(1)$ est vraie ,$Prop$(m-1) implique $Prop$(m) pour $2n-2 \geqslant m > 1$ donc pour tout m $Prop(m)$ est vraie.

Finalement $\overline{N_{2n-1-k}}(4n-1) \not\subset \overline{N_{2n-1-l}}(4n-1)$ pour $1 \leqslant l, k \leqslant 2n-2$.

□

3.2.2 Les deux autres branches $E_{2n-1} - E_{n+1} - ... - E_{2n-2}$ et $E_{2n} - E_{n+1} - ... - E_{2n-2}$: étude des sous-ensembles G_1 et G_2

Il reste à montrer que $\overline{N_{2n-2}}(4n-1), ..., \overline{N_n}(4n-1) \not\subset \overline{N_{2n-1}}(4n-1), \overline{N_{2n}}(4n-1)$. Pour cela on utilise des sous-ensembles G_1 et G_2 d'idéaux de définition J_1 et J_2 et la même méthode que précédemment. (ie on cherche la forme que pourraient avoir les idéaux minimaux de J_1 et J_2 et on montre leur existence).

Soit G_1 le sous-ensemble de $\overline{Tr(4n-1)}$ dont l'idéal de définition J_1 est engendré par les équations suivantes :

$$
\begin{aligned}
b_1, ..., b_{n-2}, c_1, ..., c_{n-1} \\
f_1 = i a_1^{n-1} - b_{n-1} \\
f_2 = c_n^2 - 2a_1 b_{n-1} b_n - a_2 b_{n-1}^2 - (2n-1) a_1^{2n-2} a_2 \\
f_3 = 2c_n c_{n+1} - g_3(A, B) \\
f_4 = c_{n+1}^2 + 2c_n c_{n+2} - g_4(A, B) \\
f_5 = 2c_{n+1} c_{n+2} + 2c_n c_{n+3} - g_5(A, B) \\
\vdots \\
f_{2n+1} = 2c_{2n-1} c_{2n} + 2c_{2n-2} c_{2n+1} + ... + 2c_n c_{2n-1} + g_{2k+1}(A, B)
\end{aligned}
$$

Théorème 5. *J_1 a n+1 idéaux premiers minimaux, $\mathcal{P}_1, ..., \mathcal{P}_n, \mathcal{P}_{2n}$, tous de hauteur $4n-2$.*

En particulier, $\overline{N_{2n-1-k}}(4n-1) \not\subset \overline{N_{2n}}(4n-1)$ *pour* $1 \leqslant k < n$.

Démonstration. On a les inclusions suivantes :

$$K_1 \subset K_2 \subset ... \subset K_n \subset G_1$$

On a aussi l'existence d'un idéal premier $\mathcal{P}_{2n}$, minimal pour J_1, tel que $V(\mathcal{P}_{2n}) = \overline{N_{2n}}(4n-1)$ car $N_{2n}(4n-1) = \{b_1 = ... = b_{n-2} = c_1 = ... = c_{n-1}\} \cap \{ia_1^{n-1} - b_{n-1} = 0\} \cap \mathcal{H}(4n-1) \cap \{a_1 \neq 0\} \cap \{c_n \neq 0\} \cap \{b_{n-1} \neq 0\}$ est un ouvert irréductible de G_1. Les autres premiers minimaux de J_1 (s'ils existent) contiennent l'idéal (a_1, c_n, b_{n-1}) car dans R_{c_n} (resp.R_{a_1},$R_{b_{n-1}}$), $(J_1)_{c_n}$ (resp. $(J_1)_{a_1}$, $(J_1)_{b_{n-1}}$) est premier et égale $(\mathcal{P}_{2n})_{c_n}$ (resp.$(\mathcal{P}_{2n})_{a_1}$, $(\mathcal{P}_{2n})_{b_{n-1}}$) . Les candidats à être ces idéaux minimaux sont les idéaux premiers $\mathcal{P}_l$ pour $1 \leqslant l \leqslant n$. Pour montrer leur existence, il faut et il suffit de montrer que c_n (par exemple) est un diviseur de zéro modulo J_1.
Si c_n n'est pas un diviseur de zéro modulo J_1 , alors on aura d'une part que $\mathcal{P}_{2n}$ est le seul premier minimal de J_1, ce qui implique que $ht(\mathcal{P}_{2n}) < 4n-2$ (car $\mathcal{P}_{2n} \subset \mathcal{P}_n$) ; d'autre part, $ht((J_1)_{c_n}) = 4n-2$ donc $ht(J_1) = 4n-2$. =><=.

□

4 les point doubles rationnels En

On va appliquer la même méthode que ci-dessus pour montrer que la conjecture est vraie pour $\mathbf{E_6}$, $\mathbf{E_7}$ et $\mathbf{E_8}$.

4.1 La singularité $\mathbf{E_6}$

On regarde $\mathbf{E_6}$ plongée dans C^3, définie par l'équation $z^2 + y^3 + x^4 = 0$. On applique le critère valuatif avec les fonctions régulières $x, y, z, x^2 + iz, x^2 - iz$ dont les valuations sur les E_i (les courbes exceptionnelles de la désingularisation minimale de $\mathbf{E_6}$) sont données sur les graphes suivants(avec le graphe dual de résolution) :

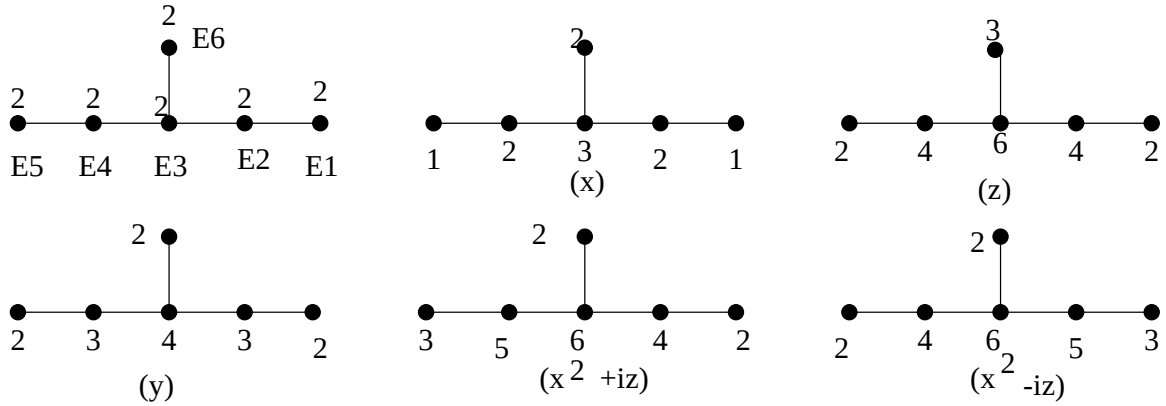

Fig. 2 – graphe dual de la singularité $\mathbf{E_6}$ et valuation des fonctions $x, y, z, x^2 + iz, x^2 - iz$

Le critère nous permet d'instaurer un ordre partiel sur les familles, que l'on traduit sur le schéma suivant :

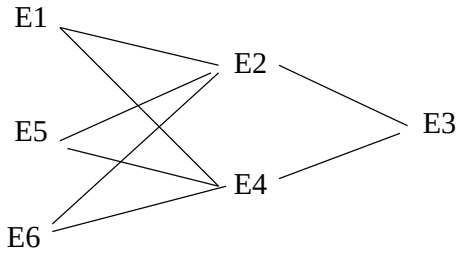

Remarque : de par la symmétrie particulière de cette singularité, on a les implications suivantes :

– si $\overline{N_3} \not\subset \overline{N_2}$, alors $\overline{N_3} \not\subset \overline{N_4}$;
– si $\overline{N_2}, \overline{N_4}, \overline{N_6} \not\subset \overline{N_1}$, alors $\overline{N_2}, \overline{N_4}, \overline{N_6} \not\subset \overline{N_5}$

Il reste á montrer les non-inclusions suivantes :
– $\overline{N_3} \not\subset \overline{N_4}, \overline{N_5}, \overline{N_1}$
– $\overline{N_2}, \overline{N_4} \not\subset \overline{N_5}$
– $\overline{N_2}, \overline{N_5}, \overline{N_4} \not\subset \overline{N_1}$

De la même manière que dans la section précédente, on va étudier des sous-ensembes K_k de $\overline{Tr}(13)$ d'idéaux I_k et leurs idéaux premiers minimaux.

• Soit $K_1 = \{a_1 = a_2 = 0 = b_1 = b_2 = b_3 = c_1 = ... = c_5\} \cap \mathcal{H}(13)$.
On a : $N_3(13) \subset K_1$ ouvert irréductible (car $N_3(13) = \{a_1 = a_2 = 0 = b_1 = ... = b_3 = c_1 = ... = c_5\} \cap \mathcal{H}(13) \cap \{a_3 \neq 0\} \cap \{b_4 \neq 0\} \cap \{c_6 \neq 1\}$), donc il existe $\mathcal{P}_1$ premier minimal de I_1 tel que $V(\mathcal{P}_1) = \overline{N}_3(13)$.
Or K_1 est irréductible :
I_1 est engendré par les éléments suivants :

$$\begin{aligned} a_1, a_2, b_1, b_2, b_3, c_1, ..., c_5 \\ f_1 = c_6^2 + b_4^3 + a_3^4; \\ f_2 = 2c_6c_7 + 3b_4^2b_5 + 4a_3^3a_4 \end{aligned}$$

Soit $R = k[a_1, ..., a_4, b_1, ..., b_5, c_1, ..., c_7]$. Montrons que $A' = \frac{R'}{(f_1, f_2)}$ est lui-même intègre (où $R' = k[a_3, a_4, b_4, b_5, c_6, c_7]$).
Or f_1 est irréductible, donc $B = \frac{k[a_3, b_4, c_6]}{(f_1)}$ est intègre et on a $A' = \frac{B[a_4, b_5, c_7]}{(f_2)}$.
Sur $\{c_6 \neq 0\}$, B_{c_6} est intègre et $A'_{c_6} \simeq B_{c_6}[a_4, b_5]$ est intègre ;
sur $\{b_4 \neq 0\}$, B_{b_4} est intègre et $A'_{b_4} \simeq B_{b_4}[a_4, c_7]$ est intègre ;
sur $\{a_3 \neq 0\}$, B_{a_3} est intègre et $A'_{a_3} \simeq B_{a_3}[b_5, c_7]$ est intègre.

Supposons que K_1 est réductible, i.e. que $I_1 = \mathcal{P}_1 \cap ... \cap \mathcal{P}_l$.
On vient de montrer que

$$(I_1)_{c_6} = (\mathcal{P}_1)_{2c_6} \quad (1)$$
$$(I_1)_{b_4} = (\mathcal{P}_1)_{3b_6} \quad (2)$$
$$(I_1)_{a_3} = (\mathcal{P}_1)_{4a_3} \quad (3)$$

i.e. que toute composante de irréductible de K_1 autre que $V(\mathcal{P}_1)$ est contenue dans $V(a_3, b_4, c_6)$.

Soit $\mathcal{P}_2$ un idéal premier minimal (différent de $\mathcal{P}_1$) de I_1.Alors (1), (2), (3) $\Rightarrow (a_3, b_4, c_6) \subset \mathcal{P}_2$. Cela implique que $(a_1, a_2, a_3, b_1, .., b_4, c_1, ..., c_7) \subset \mathcal{P}_2$; or $ht(a_1, a_2, a_3, b_1, .., b_4, c_1, ..., c_7) = 13$ donc $ht(\mathcal{P}_2) \geqslant 13$, ce qui est impossible car I_1 est lui de hauteur 12 (la suite (f_1, f_2) est régulière dans R).

Donc K_1 est irréductible et $K_1 = V(\mathcal{P}_1) = \overline{N}_3(13)$.

• Soit $K_2 = \{ic_4 = a_2^2\} \cap \{a_1 = 0 = b_1 = b_2 = c_1 = ... = c_3\} \cap \mathcal{H}(13)$.

Soit I_2 l'idéal de définition de K_2, $I_2 = (a_1, b_1, b_2, c_1, c_2, c_3, f_1, ..., f_6)$, où
$f_1 = a_2^2 - ic_4$;
$f_2 = 2c_4c_5 + b_3^3 + 4a_2^3a_3$;
$f_3 = c_5^2 + 2c_4c_6 + 3b_3^2b_4 + 4a_2^3a_4 + 6a_2^2a_3^2$;
$f_4 = 2c_5c_6 + 2c_4c_7 + 3b_3^2b_5 + 3b_3b_4^2 + 4a_2^3a_5 + 12a_2^2a_3a_4 + 4a_3^3a_2$;
$f_5 = c_6^2 + 2c_6c_7 + 2c_4c_8 + 3b_3^2b_6 + 6b_4b_3b_5 + b_4^3 + 4a_2^3a_6 + 12a_2^2a_3a_5 + (6a_2^2a_4 + 12a_3^2a_2)a_4 + a_3^3$;
$f_6 = 2c_6c_7 + 2c_8c_5 + 2c_4c_9 + 3b_3^2b_7 + 6b_4b_3b_6 + (3b_4^2 + 3b_3b_5)b_5 + 4a_2^3a_7 + 12a_3a_2^2a_6 + (12a_4a_2^2 + 12a_3^2a_2)a_5 + (12a_3a_2a_4 + 4a_3^3)a_4$;

On a $N_2(13)$ ouvert irréductible dans K_2 (car $N_2(13) = \{a_1 = 0 = b_1 = ... = b_2 = c_1 = ... = c_3\} \cap \mathcal{H}(13) \cap \{a_2 \neq 0\} \cap \{b_3 \neq 0\} \cap \{c_4 \neq 1\} \cap \{a_2^2 + ic_4 = 0\}$), donc il existe $\mathcal{P}_2$ premier minimal de I_2 tel que $V(\mathcal{P}_2) = \overline{N}_2(13)$.

Remarque :
S'il existe un idéal premier minimal $\mathcal{P}$ de I_2, autre que $\mathcal{P}_2$, on sait que $(c_4, b_3, a_2) \subset \mathcal{P}$, car $(I_2)_{c_4}, (I_2)_{b_3}, (I_2)_{a_2}$ sont premiers et égalent $(\mathcal{P}_2)_{c_4}, (\mathcal{P}_2)_{b_3}, (\mathcal{P}_2)_{a_2}$. Or $I_2 + (c_4, b_3, a_2) = I_1$, donc $I_1 \subset \mathcal{P}$; donc le seul candidat à être un minimal pour I_2 différent de $\mathcal{P}_2$ est $\mathcal{P}_1$.

Pour montrer son existence, il faut et il suffit de montrer qu'au moins un de ces éléments c_4, b_3 , a_2 est un diviseur de zéro modulo $\sqrt{I_2}$.

On montre l'existence d'un tel idéal par l'absurde :
Si b_3 n'est pas un diviseur de zéro modulo $\sqrt{I_2}$, d'une part, $\mathcal{P}_2$ est le seul premier minimal de I_2 ; or $I_2 \subset \mathcal{P}_1$ et $\mathcal{P}_1 \neq \mathcal{P}_2$ car $(c_4, b_3, a_2) \subset \mathcal{P}_1$, donc $ht(I_2) = ht(\mathcal{P}_2) < 12$; mais d'autre part,dans le localisé R_{b_3}, $ht((I_2)_{b_3}) = 12$, donc $ht(I_2) = 12 => <=$
Alors, $\mathcal{P}_1$ est un autre idéal premier minimal de I_2. On a $\mathcal{P}_1 \neq \mathcal{P}_2$, i.e. $\overline{N}_3(13) \not\subset \overline{N}_2(13)$ (et par symmétrie (en utilisant l'équation $ic_4 = -a_2^2$) on a $\overline{N_3(13)} \not\subset \overline{N_4(13)}$)
.

Pour montrer que $\overline{N_3(13)}, \overline{N_2(13)}, \overline{N_4(13)} \not\subset \overline{N_6(13)}$, on utilise le même raisonnement, appliqué au sous-ensemble $K_3 = \{a_1 = b_1 = c_1 = c_2 = 0\} \cap \mathcal{H}(13)$ défini par l'idéal $I_3 = (a_1, b_1, c_1, c_2, f_1, ..., f_8)$ où

$$f_1 = c_3^2 + b_2^3;$$
$$f_2 = 2c_3c_4 + 3b_2^2b_3;$$
$$f_3 = c_4^2 + 2c_3c_5 + a_2^4 + g_3(B);$$
$$f_4 = 2c_5c_4 + 2c_3c_6 + 4a_2^3a_3 + g_4(B);$$
$$f_5 = c_5^2 + 2c_4c_6 + 2c_3c_7 + 4a_2^3a_4 + 6a_2^2a_3^2 + g_5(B);$$
$$f_6 = 2c_6c_5 + 2c_4c_7 + 2c_3c_8 + 4a_2^3a_5 + 12a - 2^2a_3a_4 + 4a_2a_3^3 + g_6(B);$$
$$f_7 = c_6^2 + 2c_7c_5 + 2c_4c_8 + 2c_3c_9 + 4a_2^3a_6 + 12a - 2^2a_3a_5 + 6a_2^2a_4^2 + 12a_2a_3^2a_4 + a_3^4 + g_7(B);$$
$$f_8 = 2c_7c_6 + 2c_5c_8 + 2c_4c_9 + 2c_3c_{10} + 4a_2^3a_7 + h_8(A) + g_8(B);$$

et les éléments c_3, b_2, a_2.

Idem pour montrer que $\overline{N_3(13)}, \overline{N_2(13)}, \overline{N_4(13)}, \overline{N_6(13)} \not\subset \overline{N_1(13)}$ (et par symmétrie $\overline{N_3(13)}, \overline{N_2(13)}, \overline{N_4(13)}, \overline{N_6(13)} \not\subset \overline{N_5(13)}$) , on utilise le sous-ensemble $K_4 = \{b_1 = c_1 = 0\} \cap \{a_1^2 = ic_2\} \cap \mathcal{H}(13)$ d'idéal $I_4 = (b_1, c_1, f_1 = a_1^2 - ic_2, ..., f_1)$ où

$$f_1 = c_2 - ia_1^2;$$
$$f_2 = 2c_2c_3 + 4a_1^3a_2;$$
$$f_3 = c_3^2 + 2c_2c_4 + b_2^3 + g_3(A);$$
$$f_4 = 2c_3c_4 + 2c_2c_5 + 3b - 2^2b_3 + g_4(A);$$
$$f_5 = c_4^2 + 2c_3c_5 + 2c_2c_6 + 3b_2^2b_4 + h_5(B) + g_5(A);$$
$$f_6 = 2c_4c_5 + 2c_3c_6 + 2c_2c_7 + 3b_2^2b_5 + 6b_2b_3b_4 + h_6(B) + g_6(A);$$
$$f_7 = c_5^2 + 2c_4c_6 + 2c_3c_7 + 2c_2c_8 + 3b_2^2b_6 + 6b_2b_3b_5 + h_7(B) + g_7(A);$$
$$f_8 = 2c_5c_6 + 2c_4c_7 + 2c_3c_8 + 2c_2c_9 + 4a_2^3a_7 + b_2^2b_7 + 6b_2b_3b_6 + h_8(B) + g_8(A);$$
$$f_9 == c_6^2 + 2c_5c_7 + 2c_4c_8 + 2c_3c_9 + 2c_2c_{10} + 3b_2^2b_7 + 6b_2b_3b_6 + h_9(B) + g_9(A);$$
$$f_{10} == 2c_7c_6 + 2c_5c_8 + 2c_4c_9 + 2c_3c_{10} + 2c_2c_{11} + 4a_2^3a_7 + b_2^2b_8 + 6b_2b_3b_7 + h_9(B) + g_9(A);$$

et les éléments c_2, a_1.

4.2 La singularité $\mathbf{E_7}$

On regarde $\mathbf{E_7}$ plongée dans C^3, définie par l'équation $z^2+y^3x+x^3=0$. Son graphe dual de résolution est le suivant :
On applique le critère valuatif avec les fonctions régulières x, y, z L'ordre partiel est

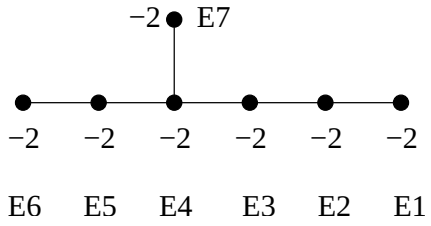

Fig. 3 – graphe dual (singularité $\mathbf{E_7}$)

donné sur le schéma suivant :

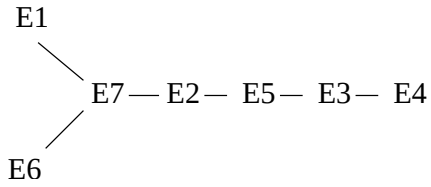

Puis on applique la méthode précédente avec les sous-ensembles K_k de $Tr(19)$ suivants :

$$K_1 = \{a_1 = ... = a_5 = b_1 ... = b_3 = c_1 = ... = c_8 = 0\} \cap \mathcal{H}(19)$$
$$K_2 = \{a_1 = ... = a_4 = b_1 ... = b_2 = c_1 = ... = c_6 = 0\} \cap \mathcal{H}(19)$$
$$K_3 = \{a_1 = ... = a_3 = b_1 ... = b_2 = c_1 = ... = c_5 = 0\} \cap \mathcal{H}(19)$$
$$K_4 = \{a_1 = ... = a_3 = b_1 ... = b_1 = c_1 = ... = c_4 = 0\} \cap \mathcal{H}(19)$$
$$K_5 = \{a_1 = ... = a_2 = b_1 ... = b_1 = c_1 = ... = c_4 = 0\} \cap \mathcal{H}(19)$$
$$K_6 = \{a_1 = ... = a_2 = c_1 = ... = c_2 = 0\} \cap \mathcal{H}(19)$$
$$K_7 = \{a_1 = b_1 = c_1 = ... = c_2 = 0\} \cap \mathcal{H}(19)$$

4.3 La singularité $\mathbf{E_8}$

On regarde $\mathbf{E_8}$ plongée dans C^3, définie par l'équation $z^2 + y^3 + x^5 = 0$. Son graphe dual de résolution est le suivant :

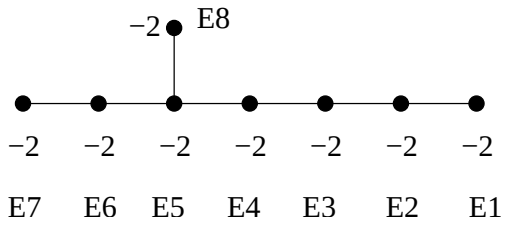

Fig. 4 – graphe dual (singularité $\mathbf{E_8}$)

On applique le critère valuatif avec les fonctions régulières x, y, z et l'ordre partiel est donné sur le schéma suivant :

E1 — E7 — E2 — E8 — E3 — E6 — E4 — E5

Puis on applique la méthode précédente avec les sous-ensembles K_k de $Tr(31)$ suivants :

$$
\begin{aligned}
K_1 &= \{a_1 = ... = a_5 = b_1 ... = b_9 = c_1 = ... = c_1 4 = 0\} \cap \mathcal{H}(31) \\
K_2 &= \{a_1 = ... = a_4 = b_1 ... = b_7 = c_1 = ... = c_1 1 = 0\} \cap \mathcal{H}(31) \\
K_3 &= \{a_1 = ... = a_3 = b_1 ... = b_6 = c_1 = ... = c_9 = 0\} \cap \mathcal{H}(31) \\
K_4 &= \{a_1 = ... = a_3 = b_1 ... = b_5 = c_1 = ... = c_8 = 0\} \cap \mathcal{H}(31) \\
K_5 &= \{a_1 = ... = a_2 = b_1 ... = b_4 = c_1 = ... = c_7 = 0\} \cap \mathcal{H}(31) \\
K_6 &= \{a_1 = ... = a_2 = b_1 ... = b_3 = c_1 = ... = c_5 = 0\} \cap \mathcal{H}(31) \\
K_7 &= \{a_1 = b_1 ... = b_3 = c_1 = ... = c_4 = 0\} \cap \mathcal{H}(31) \\
K_8 &= \{a_1 = b_1 = c_1 = c_2 = 0\} \cap \mathcal{H}(31)
\end{aligned}
$$

Références

[ISH–KOL] Shihoko Ishii–János Kollár, *The Nash problem on arc families of singularities.*ArXiv n° AG/0207171.

[LEJ] Monique Lejeune–Jalabert, *Courbes tracées sur un germe d'hypersurface.* Amer.J.Math. **112** (1990), 525–568.

[NASH] John F. Nash, Jr., *Arc structure of singularities.* A celebration of John F. Nash, Jr. Duke Math. J. **81, 1** (1995), 31–38 (1996).

[PLE] Camille Plenat, *A propos de la conjecture de Nash.*ArXiv n° AG/0301358.

[REG] Ana Reguera, *Families of arcs on rational surface singularities.* Manuscripta Math **88, 3** (1995), 321–333

[SPI 2] Mark Spivakovsky, *Valuation in function fie lds of surfaces.* Amer.J.Math.**112** (1990), 107–156.